

### § 8. Особые решения. Автомодельность

Если частица в начальный момент  $t_0$  имела координату  $x_0$  и импульс  $p_0$ , то, пользуясь обозначениями § 7, получим, что в момент  $t$  она будет изображаться точкой фазовой плоскости с координатами (7.1); стало быть, соответствующая фазовая плотность равна  $n^\Phi = G(x, p, t; x_0, p_0, t_0) = \delta(x - \varphi(t; x_0, p_0, t_0)) \delta(p - \psi(t; x_0, p_0, t_0))$ .

С помощью этой функции легко выразить решение

$$n^\Phi(x, p, t) = \int_{-\infty}^t d\tau \int_{-\infty}^{\infty} dx_0 \int_{-\infty}^{\infty} G(x, p, t; x_0, p_0, \tau) r(x_0, p_0, \tau) dp_0 \quad (1)$$

задачи о распространении потока частиц, непрерывно возникающих с фазово-временной плотностью  $r(x_0, p_0, \tau)$  (это значит, что за время от  $\tau$  до  $\tau+dt$  на участке оси от  $x_0$  до  $x_0+dx_0$  в интервале импульсов от  $p_0$  до  $p_0+dp_0$  возникает  $r(x_0, p_0, \tau) dx_0 dp_0 dt$  частиц).

Рассмотрим в качестве примера простую задачу о распространении потока частиц, непрерывно возникающих в одной точке. Пусть силы на частицы не действуют, т. е.  $F=0$ , и, начиная с момента  $t=0$ , в точке  $x_0=0$  возникают частицы с интенсивностью  $v$  штук в единицу времени, равномерно распределенные по импульсу на интервале  $0 \leq p \leq h$ . Решение такой задачи совершенно наглядно. Именно, к любому моменту  $t > 0$  возникает  $vt$  частиц. Поэтому в указанном диапазоне импульсов на интервал от  $p$  до  $p+dp$  придется  $\frac{vt}{h} dp$  частиц. Эта порция будет равномерно распределена по интервалу  $0 \leq x \leq \frac{pt}{m_0}$ , т. е. с фазовой плотностью

$$\frac{vt}{h} dp : \frac{pt}{m_0} dp = \frac{m_0 v}{h p}.$$

Таким образом, получается фазовая плотность

$$n^\Phi(x, p, t) = \begin{cases} \frac{m_0 v}{h p} & \left( 0 \leq x \leq \frac{pt}{m_0}, 0 \leq p \leq h \right), \\ 0 & \text{(при прочих комбинациях } x, p \text{)} \end{cases} \quad (2)$$

(рис. 78). Массовая плотность на оси  $x$  получается равной

$$\rho(x, t) = \begin{cases} m_0 \int_{m_0 x/t}^h \frac{m_0 v}{h p} dp = \frac{m_0^2 v}{h} \ln \frac{ht}{m_0 x} & \left( 0 \leq x \leq \frac{ht}{m_0} \right), \\ 0 & \left( \frac{ht}{m_0} < x < \infty \right). \end{cases}$$

Как видим, при  $x=0$  плотность  $\rho$  равна бесконечности, что вызвано непрерывным возникновением как угодно медленных частиц (этим же объясняется то, что при любом фиксированном  $x$  плотность

$\rho(x, t) \rightarrow \infty$  при  $t \rightarrow \infty$ ). На подвижном конце интервала, заполненного частицами, т. е. при  $x = \frac{ht}{m_0}$ , плотность  $\rho$  равна нулю, так как там находятся только самые быстрые частицы, вышедшие в начальный момент времени. Интеграл  $\int_0^{ht/m_0} \rho dx$  при каждом  $t$  хоть и несобственный, но сходящийся, он равен общей массе частиц, возникших к моменту  $t$ , т. е.  $v m_0 t$  (проверьте этот результат с помощью формального вычисления интеграла!).

Для практики действий с  $\delta$ -функцией получим этот же результат как следствие общей формулы (1). Здесь  $\varphi(t; x_0, p_0, t_0) = x_0 + \frac{p_0}{m_0}(t - t_0)$ ,  $\psi(t; x_0, p_0, t_0) = p_0$ , так что

$$G(x, p, t; x_0, p_0, t_0) = \delta\left(x - x_0 - \frac{p_0}{m_0}(t - t_0)\right) \delta(p - p_0).$$

Кроме того,

$$r(x_0, p_0, \tau) = \begin{cases} \frac{v}{h} \delta(x_0) & (0 \leq p_0 \leq h, 0 \leq \tau < \infty), \\ 0 & (\text{для прочих комбинаций } p_0, \tau). \end{cases}$$

Поэтому формула (1) дает при  $t > 0$

$$\begin{aligned} n^\Phi(x, p, t) &= \\ &= \int_0^t d\tau \int_0^h dp_0 \int_{-\infty}^{\infty} \delta\left(x - x_0 - \frac{p_0}{m_0}(t - \tau)\right) \delta(p - p_0) \frac{v}{h} \delta(x_0) dx_0. \quad (3) \end{aligned}$$

Для преобразования правой части нам понадобится общая формула

$$\int_{-\infty}^{\infty} \delta(x - a) \delta(a - b) da = \delta(x - b). \quad (4)$$

Для ее доказательства обозначим интеграл, стоящий в левой части, через  $J(x)$ , и заметим, что при каждом  $x \neq b$  подынтегральная функция равна нулю при всех  $a$ , т. е. и интеграл  $J(x) = 0$ . Отсюда видно, что зависимость  $J(x)$  похожа на дельта-функцию  $\delta(x - b)$ . Чтобы проверить это, воспользуемся определяющим соотношением для дельта-функции (§ I.5) и вычислим интеграл

$$\int_{-\infty}^{\infty} J(x) f(x) dx$$

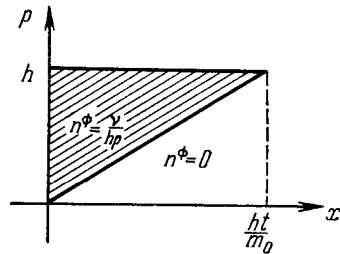


Рис. 78.

при любой непрерывной функции  $f(x)$ . Совершая простые преобразования, получим (проверьте!):

$$\begin{aligned} \int_{-\infty}^{\infty} J(x) f(x) dx &= \int_{-\infty}^{\infty} dx \int_{-\infty}^{\infty} \delta(x-a) \delta(a-b) f(x) da = \\ &= \int_{-\infty}^{\infty} da \left( \int_{-\infty}^{\infty} \delta(x-a) f(x) dx \right) \delta(a-b) = \int_{-\infty}^{\infty} f(a) \delta(a-b) da = f(b) \end{aligned}$$

(при этом мы дважды пользовались упомянутым определяющим соотношением). Так как определяющему соотношению удовлетворяет только одна дельта-функция, мы получаем, что  $J(x)=\delta(x-b)$ , т. е. приходим к формуле (4).

Применяя формулу (4) к решению (3), получим

$$n^\Phi(x, p, t) = \frac{v}{h} \int_0^h \delta(p-p_0) dp_0 \int_0^t \delta\left(x - \frac{p_0}{m_0} t + \frac{p_0}{m_0} \tau\right) d\tau.$$

Так как выражение  $x - \frac{p_0}{m_0} t + \frac{p_0}{m_0} \tau$  во внутреннем интеграле пробегает интервал от  $x - \frac{p_0}{m_0} t$  до  $x$ , то внутренний интеграл отличен от нуля (и равен  $\frac{m_0}{p_0}$ ) только при  $0 < x < \frac{p_0}{m_0} t$ , т. е.

$$n^\Phi(x, p, t) = \begin{cases} \frac{v}{h} \int_0^h \delta(p-p_0) \frac{m_0}{p_0} e\left(p_0 - \frac{m_0 x}{t}\right) dp_0 & (x > 0), \\ 0 & (x < 0). \end{cases}$$

При  $\frac{m_0 x}{t} < p < h$  последний интеграл равен  $\frac{m_0}{p}$ , а при прочих комбинациях  $x, p, t$  — равен нулю. Мы приходим к выражению (2) для решения, полученному выше из элементарных соображений, с точностью до несущественной замены нестрогих неравенств на строгие.

Полученное решение обладает замечательным свойством *автомодельности*, другими словами, при изменении времени оно преобразуется по правилу подобия. В общем случае функция  $f(x, y, t)$  координат  $x, y$  и времени  $t$  называется автомодельной, если она имеет вид

$$f(x, y, t) = t^\alpha \varphi(t^\beta x, t^\gamma y), \quad (5)$$

где  $\alpha, \beta, \gamma$  — некоторые постоянные, а  $\varphi$  — функция двух переменных; тогда при изменении  $t$  изменение функции сводится к изменению масштабов по осям аргументов и функции. (В принципе вместо степеней  $t$  можно было бы поставить любые функции от  $t$ ; однако практическое значение имеют только степени.) Аналогично дается определение автомодельности функции любого числа координат и времени.

Проверим, например, автомодельность функции

$$f(x, t) = x + a\sqrt{t}x^3 \quad (a=\text{const}).$$

Для этого представим ее в виде  $f(x, t) = t^\alpha(t^{-\alpha}x + at^{-\alpha+1/2}x^3)$ , где показатель  $\alpha$  мы подберем так, чтобы  $t^{-\alpha+1/2}x^3 = (t^{-\alpha}x)^3$ . Отсюда  $\alpha = -\frac{1}{4}$ , т. е.

$$f(x, t) = t^{-1/4}(t^{1/4}x + at^{3/4}x^3) = t^{-1/4}\varphi(t^{1/4}x),$$

где  $\varphi(s) = s + as^3$ .

Автомодельный характер решения (2), построенного выше, становится более ясным, если на минуту ввести функцию

$$\Psi(x, y) = \begin{cases} 1/y & (0 \leq x \leq y \leq 1), \\ 0 & (\text{при прочих комбинациях } x, y). \end{cases}$$

Тогда решение (2) можно переписать в виде

$$n^\Phi(x, p, t) = \frac{m_0 v}{\hbar^2} \Psi\left(\frac{m_0 x}{pt}, \frac{p}{\hbar}\right).$$

Сравнивая с (5), мы видим, что  $\alpha=0$ ,  $\beta=-1$ ,  $\gamma=0$ .

Предположение об автомодельности решения (такие решения называются также *особыми*) позволяет понизить число независимых переменных в дифференциальном уравнении на единицу и тем самым иногда построить решение даже в случае сложных нелинейных задач. Такие решения, несмотря на свой специальный вид, часто имеют узловое физическое значение (например, описывают развитие особенности, как это будет для формулы (5) при  $\beta<0$ ,  $\gamma<0$ ); кроме того, с их помощью можно иногда сделать полезные выводы о характере других, неавтомодельных решений. К сожалению, мы не имеем здесь возможности остановиться подробнее на этом важном вопросе, поэтому ограничимся указанием на книгу Л. И. Седова, Методы подобия и размерности в механике, «Наука», изд. 6, 1967, где рассмотрены теория и приложения автомодельных решений, а также на статью Г. И. Баренблатта и Я. Б. Зельдова из «Промежуточные асимптотики в математической физике» в журнале «Успехи математических наук», т. XXVI, № 2 (1971), 115—129.

### Упражнение

Найдите автомодельные решения уравнения  $x\vartheta'_x - t\vartheta'_t = \vartheta$ .

## § 9. Движение частиц в пространстве

Остановимся коротко на пространственных движениях среды (плоские движения рассматриваются аналогично), причем будем обозначать координаты частиц буквами  $x_1, x_2, x_3$ . Если известны силы, действующие на идентичные невзаимодействующие частицы,